

第三篇 质量传播

目 录

第十七章 分子传质	17-2
§ 17-1 菲克定律	17-2
§ 17-2 化学位与扩散	17-13
§ 17-3 固体中的扩散	17-15
一 晶体缺陷	17-16
二 扩散机构	17-18
三 自扩散	17-21
四 Kirkendall 效应与 Darken 方程	17-23
五 扩散的统计性质以及与温度的关系	17-33
六 固体非金属中的扩散	17-38
§ 17-4 液体中的扩散	17-50
§ 17-5 气体中的扩散	17-57
§ 17-6 多孔介质中的扩散	17-67
第十八章 菲克扩散定律的解	18-1
§ 18-1 稳定态扩散	18-1
§ 18-2 非稳定态扩散	18-9
一 薄层面源法	18-11
二 扩散对法 D 为常数时的情况	18-13
三 扩散对法 D 不为常数时的情况	18-20
§ 18-3 有限体中的扩散	18-23
§ 18-4 界面移动时的属于扩散控制的过程	18-28
§ 18-5 液态金属和炉渣中的扩散	18-29

第十九章 对流传质	19-1
§ 19-1 对流传质过程中的几个重要参数	19-2
§ 19-2 传质的一般方程式	19-4
§ 19-3 通过气体停滞膜的扩散	19-8
§ 19-4 运动气流中的扩散	19-12
§ 19-5 进入沿器壁流下的液膜中的扩散	19-16
§ 19-6 传质系数	19-19
§ 19-7 沿平板的强制对流——近似积分法	19-24
§ 19-8 端流传质准数方程	19-34
§ 19-9 传质系数模型	19-41
第二十章 通过相界面的传质	20-1
§ 20-1 双重阻力传质理论	20-2
§ 20-2 气—固反应的混合控制	20-7
一 铁渗炭过程中，表面反应和扩散作为限制性因素时的情况	
一、	20-7
二、	20-11
三、	20-14
§ 20-3 温度的影响和热稳定性的概念	20-19
第二十一章 传质与化学反应	21-1
§ 21-1 伴有化学反应的扩散方程	21-1
§ 21-2 化学反应与传质的关系	21-4
§ 21-3 炭的燃烧	21-10
§ 21-4 铁矿石的还原	21-14
§ 21-5 多孔物料中气体浓度的分布	21-16
§ 21-6 反应有效系数	21-19

第十九章 对流传质— 伴随着对流时的扩散

在运动着的流体和相界凸之间，或者在两个不相混合的运动着的流体之间的质量传递叫做对流传质。高炉内向上升的煤气流和下降的炉料之间进行的便是二种对流传质过程，伴随着发生热量传递和一系列物理化学反应。

如同对流传热一样，在对流传质中，要区分是强制对流还是自然对流。如果是藉助泵或风机迫使流体运动，叫做强制对流；如果运动是由于流体内的浓度差（因为存在浓度差或温度差产生的）引起的，叫做自然对流。

对流传质的速率方程和牛顿冷却定律相类似，即

$$N_A = f_C \Delta C_A \quad (19-1)$$

N_A 是相对于空间固定坐标，组元 A 的克分子质量通量； ΔC_A 是界凸上 A 的浓度和流体内部组元 A 的平均浓度之差。 f_C 是对流传质系数。

和分子传质一样，对流传质沿着浓度降低的方向进行。由公式 (19-1) 定义的系数 f_C ，是根据质量通量以及扩散路程的始端和末端的浓度之差而确定的，因此这一系数包含了流体的层流区域和湍流区域（不论二者的比例如何）的所有特性。一般说来，它是系统的几何形状，流体性质和流动性质以及浓度 ΔC_A 的函数。关于它的确定方法，后凸将要谈到。

处理流体流过表凸这类问题时，通常设想，在界凸的流体相侧，有一层停滞的流体薄膜，其中的流体呈层流运动，而紧挨着固体表凸的流体质点则是静止的。这样，表凸与流体之间的传质机构必然包括通过这层薄膜的分子传质。而且设想这层薄膜几乎集中了表凸与流体核心之间的全部浓度差，膜外流体的浓度是均匀的。因此对流传质的限制性阻力应来自这一层薄膜。基于这一设想，所以传

质保散₁₉₋₂ 指的常常就是薄膜保散。

在一切对流过程中，如果流体呈层流状态，则表凸和运动流体之间的全部传质过程将依赖于分子传质。如果流体呈湍流状态，则流体中的组元在与流体运动方向垂直的方向上的传递，主要依靠湍流中漩涡的混合作用；这时分子扩散的作用是次要的。如同传热一样，湍流时的传质速率高，因此在任何对流的情况下，须要区分流体是层流还是湍流，这一点很重要。

流体的速度边界层在对流传质中起着主要的作用。另一个是浓度边界层，在分析对流传质过程时也至关重要，它和热边界层相类似，但厚度不一定相等。

当传质过程包含一个溶质从稳定速率从固相表面溶解，然后扩散进入一个运动着的流体时，对流传质系数可以定义如下：

$$N_A = k_C (C_{A,S} - C_A) \quad (19-2)$$

式中： N_A 表示在单位时间内离开单位界凸积的溶质 A 的克分子通量。
 $C_{A,S}$ 表示界凸上的流体中溶质 A 的组成，即在体系具有的温度和压力条件下，与固相平衡的流体的组成；
 C_A 表示流体内某一点溶质的组成。

§19-1 对流传质过程中的几个重要参数

在研究对流过程时，我们通常要用到一些无因次准数，在动量传递中，用到雷诺数 Re 和欧拉数 E_L ，在有关对流传热的准数中，比较重要的是普兰特数 Pr 和努塞尔数 Nu 。这些准数，如果将其中的物理量作适当的变换，则可以用于传质过程。在这一节里，我们将简要介绍一下这样的准数，并且对它们物理意义作些说明。

根据以前的讨论，我们已知在流体作层流运动时，其动量传递、热量传递以及质量传递是类似的，它们都是以分子扩散的方式进行传递，服从于类似的方程式，在这些方程式中，物理量——

运动粘度系数 $\nu = \frac{\mu}{\rho}$

$$\text{温度传导系数 } \alpha = \frac{k}{\rho C_p}$$

$$\text{扩散系数 } D_{AB}$$

三者都具有相同的因次 L^2/T , 因此其中你后两者系数的比值都应该无因次的。动粘度系数 ν 和扩散系数 D_{AB} 的比值叫做薛米特数 (Schmidt number) Sc (或者叫扩散的普兰德数 Pr_D)。

$$Sc = \frac{\nu}{D_{AB}} = \frac{\mu}{\rho D_{AB}} \quad (19-3)$$

数 Sc 表示物质的物理性质对于介质中浓度场分布与速度场分布的相对关系的影响。它在研究对流传质中的重要性就如同普兰德数在对流传热中一样。后者表示流体的物理性质对于流体中温度场分布与速度场分布的相对关系的影响。

现考虑溶质 A 由固相向流经固相表面的流体的质传递过程。流体中的浓度分布如图 19-1 所示。

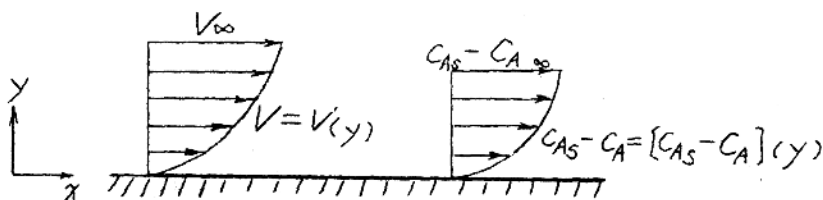


图 19-1 流体流经固体表面时的速度分布和浓度分布

据公式(19-1)此时表凸与流体之间的质传递可以下式表示:

$$N_A = k_C (C_{A,S} - C_{A,\infty}), \text{ 克分子/秒} \cdot \text{米}^2 \quad (19-4)$$

N_A 为相对于空间固定坐标, 溶质 A 的克分子质传递; $C_{A,S}$ 为固相表凸溶质 A 的浓度, 克分子/米³; $C_{A,\infty}$ 为流体内部溶质 A 的浓度, 克分子/米³。

由于表凸上的传质是以分子扩散方式进行, 因此又可得:

$$N_A = -D_{AB} \left. \frac{dC_A}{dy} \right|_{y=0} \quad (19-5)$$

当边界浓度 $C_{A,S}$ 是一常数时, 方程(19-5)可改写成:

19-4

$$N_A = -D_{AB} \frac{d(C_A - C_{A,S})}{dy} \Big|_{y=0} \quad (19-6)$$

方程(19-4)和(19-6)所确定的都是离开固相表面进入流体的溶质A的质旁通量，二者应该相等，即

$$k_c(C_{A,S} - C_{A,\infty}) = -D_{AB} \frac{d(C_A - C_{A,S})}{dy} \Big|_{y=0} \quad (19-7)$$

整理可得：

$$\frac{k_c}{D_{AB}} = \frac{-d(C_A - C_{A,S})/dy \Big|_{y=0}}{(C_{A,S} - C_{A,\infty})} \quad (19-8)$$

公式(19-8)两端同乘以有效长L，结果得出下凸一元因数故解。

$$\frac{k_c L}{D_{AB}} = \frac{-d(C_A - C_{A,S})/dy \Big|_{y=0}}{(C_{A,S} - C_{A,\infty})/L} \quad (19-9)$$

式右端是表面上的浓度梯度和总浓度梯度(或参考浓度梯度)之比，也可以把它看作是分子传质阻力和对流传质阻力之比，此比 $\frac{k_c L}{D_{AB}}$ 叫做舍伍德数(Sherwood number)sh。由于公式(19-9)的推导和对流传热中努塞尔特数(Nusselt number)的推导相似，所以 $\frac{k_c L}{D_{AB}}$ 通常又叫作传质的努塞尔特数 Nu_{AB} 。
或 sh 以及 S_c 在凸的讨论中将要经常用到。

§19-2 传质的一般方程式

设在流动的流体中选择边长分别为 Δx , Δy , Δz 的单元正六面体，含有A的流体通过它流动，而单元正六面体则是不动的，现要求求到在任一瞬间A的质旁平衡方程式。

如图19-2所示。

现令 P_A = 单元A的质旁浓度(例如1厘米³溶液中A的克数)，
 $W_{A,x}$ = X方向A的总质旁通量， $W_{A,x}$ 由二项组成，一是由于扩散导致的通量，一是由于对流导致的通量；

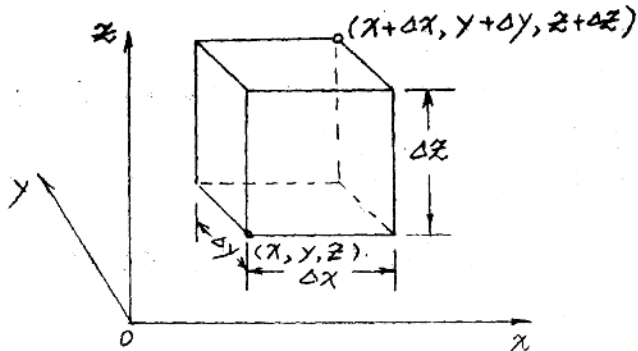


图 19-2 固定于空间的单元正方体

ρ = 流体的密度;

P_A^* = A 的质量分数;

V_x = x 方向上流体局部的质量平均速度;

V_{Ax} = 相对于固定坐标沿 x 方向上的 A 的速度。

于是应有:

$$W_{A,x} = -\rho D_A \left(\frac{\partial P_A^*}{\partial x} \right) + P_A V_x = P_A V_{Ax} \quad (19-10)$$

x 方向全部组元的总质量应该是 n 个组元速度的总和，这样据 V_x 的定义，故：

$$\rho V_x = \sum_{i=1}^n P_i V_{ix} \quad (19-11)$$

如对二元系来说，即是

$$P V_x = P_A V_{Ax} + P_B V_{Bx}$$

$$V_x = \frac{1}{\rho} (P_A V_{Ax} + P_B V_{Bx})$$

$$= \frac{1}{\rho} (W_{Ax} + W_{Bx})$$

就组元 A 而言，可导出单元体 $\Delta x \Delta y \Delta z$ 中的质量平衡如下：

首先观察垂直于 x 轴的二个平面，在同一时间内

通过左边的 x 口进入单元体的 A 量为 $\Delta y \Delta z W_{Ax}|_x$

通过右边的 $x + \Delta x$ 口离开单元体的 A 量为 $\Delta y \Delta z W_{Ax}|_{x+\Delta x}$

二者之差等于沿 x 方向进入单元体的净 A 量：

19-6

$$\Delta Y \Delta Z [W_{Ax}|_x - W_{Ax}|_{x+\Delta x}] \quad (19-12)$$

同理得在沿Y方向和沿Z方向进入单元体的净A量分别是

$$\Delta X \Delta Z [W_{Ay}|_y - W_{Ay}|_{y+\Delta y}] \quad (19-13)$$

$$\Delta X \Delta Y [W_{Az}|_z - W_{Az}|_{z+\Delta z}] \quad (19-14)$$

而在单元体内，A的积累量即质量随时间的变化率应等于：

$$\Delta X \Delta Y \Delta Z \frac{\partial^2 A}{\partial t^2}$$

于是可列出A的质通量平衡式如下：

$$\begin{aligned} \Delta X \Delta Y \Delta Z \frac{\partial^2 A}{\partial t^2} = & \Delta Y \Delta Z [W_{Ax}|_x - W_{Ax}|_{x+\Delta x}] \\ & + \Delta X \Delta Z [W_{Ay}|_y - W_{Ay}|_{y+\Delta y}] \\ & + \Delta X \Delta Y [W_{Az}|_z - W_{Az}|_{z+\Delta z}] \end{aligned}$$

将式两端同除以 $\Delta X \Delta Y \Delta Z$ ，并且按通常方式取极限，可得在细元A的一般连续性方程如下：

$$\frac{\partial P_A}{\partial t} + \frac{\partial W_{Ax}}{\partial x} + \frac{\partial W_{Ay}}{\partial y} + \frac{\partial W_{Az}}{\partial z} = 0 \quad (19-15)$$

W_{Ax} 、 W_{Ay} 、 W_{Az} 是质量通量矢量在直角坐标系三个坐标轴方向上的分矢量。 $W_A = P_A V_A$ ，包括由于扩散和主体流动导致的A的质量通量，可以写成：

$$W_A = -P_D A \nabla P_A^* + P_A V = P_A V_A \quad (19-16)$$

联立方程式(19-15)和(19-16)，最后可以导出细元A的扩散方程：

$$\frac{\partial P_A}{\partial t} + \nabla \cdot P_A V = \nabla \cdot P_D A \nabla P_A^* \quad (19-17)$$

通常用的比较多的是这一方程的简化式。假定质量浓度 P 和 D_A 都是常数，于是方程(19-17)变成：

$$\frac{\partial P_A}{\partial t} + V \nabla P_A = D_A \nabla^2 P_A \quad (19-18)$$

若式两端乘以再乘以分子量 M_A ，则得

$$\frac{\partial C_A}{\partial t} = D_A \nabla^2 C_A \quad (19-19)$$

若是採用克分子通量，对组元A来说，连续性方程(19-15)可写成：

$$\frac{\partial C_A}{\partial t} + (\nabla N_A) = 0 \quad (19-20)$$

溶液中A的扩散方程则是：

$$\frac{\partial C_A}{\partial t} + \nabla \cdot C_A U^* = \nabla \cdot C_D A \nabla X_A \quad (19-21)$$

当C和D_A取为常数时，上式可简化成：

$$\frac{\partial C_A}{\partial t} + U^* \nabla C_A = D_A \nabla^2 C_A \quad (19-22)$$

这个方程常用于恒温和恒压条件下低浓度的气体。

对固体或静止液体中的扩散来说，公式(19-19)中的U=0，如果是气体中的克分子通量扩散，则公式(19-22)中的U^{*}=0，于是两个公式都变成：

$$\frac{\partial C_A}{\partial t} = D_A \nabla^2 C_A \quad (19-23)$$

这就是菲克第二定律。

在表(19-1)和(19-2)中，归纳了在不同坐标系中A的连续性方程和扩散方程，显而易见，如今扩散方程左端括号内的分速度都等于零，得出来的即是菲克第二定律。

表19-1 不同坐标系中A的连续性方程

直角坐标：

$$\frac{\partial C_A}{\partial t} + \left(\frac{\partial N_{AX}}{\partial x} + \frac{\partial N_{AY}}{\partial y} + \frac{\partial N_{AZ}}{\partial z} \right) = 0 \quad (A)$$

柱坐标：

$$\frac{\partial C_A}{\partial t} + \left(\frac{1}{r} \frac{\partial}{\partial r} (r N_{Ar}) + \frac{1}{r \sin \theta} \frac{\partial N_{A\theta}}{\partial \theta} + \frac{\partial N_{Az}}{\partial z} \right) = 0 \quad (B)$$

球坐标：

$$\frac{\partial C_A}{\partial t} + \left[\frac{1}{r^2} \frac{\partial}{\partial r} (r^2 N_{Ar}) + \frac{1}{r \sin \theta} \frac{\partial}{\partial \theta} (N_{AB} \sin \theta) + \frac{1}{r \sin \theta} \frac{\partial N_{A\phi}}{\partial \phi} \right] = 0 \quad (C)$$

19-8

表 19-2 ρ 和 D_A 均为常数时 A 的扩散方程

直角坐标:

$$\frac{\partial C_A}{\partial t} + (V_x \frac{\partial C_A}{\partial x} + V_y \frac{\partial C_A}{\partial y} + V_z \frac{\partial C_A}{\partial z}) = D_A \left(\frac{\partial^2 C_A}{\partial x^2} + \frac{\partial^2 C_A}{\partial y^2} + \frac{\partial^2 C_A}{\partial z^2} \right) \quad (A)$$

柱坐标:

$$\begin{aligned} \frac{\partial C_A}{\partial t} + (V_r \frac{\partial C_A}{\partial r} + V_\theta \frac{1}{r} \frac{\partial C_A}{\partial \theta} + V_z \frac{\partial C_A}{\partial z}) \\ = D_A \left(\frac{1}{r^2} \frac{\partial}{\partial r} \left(r \frac{\partial C_A}{\partial r} \right) + \frac{1}{r^2 \sin \theta} \frac{\partial^2 C_A}{\partial \theta^2} + \frac{\partial^2 C_A}{\partial z^2} \right) \end{aligned} \quad (B)$$

球坐标:

$$\begin{aligned} \frac{\partial C_A}{\partial t} + (V_r \frac{\partial C_A}{\partial r} + V_\theta \frac{1}{r} \frac{\partial C_A}{\partial \theta} + V_\phi \frac{1}{r \sin \theta} \frac{\partial C_A}{\partial \phi}) \\ = D_A \left(\frac{1}{r^2} \frac{1}{r} \frac{\partial}{\partial r} \left(r^2 \frac{\partial C_A}{\partial r} \right) + \frac{1}{r^2 \sin \theta} \frac{\partial}{\partial \theta} \left(\sin \theta \frac{\partial C_A}{\partial \theta} \right) + \frac{1}{r^2 \sin^2 \theta} \frac{\partial^2 C_A}{\partial \phi^2} \right) \end{aligned} \quad (C)$$

§19-3 通过气体的滞膜的扩散

现在利用图 19-3 所示的状况，分析一下工程上经常发生的一种扩散与对流相结合的传质过程。一个底端封闭的管，其中盛有液体 A，上方进入气体 B，而管底始终保持有一个液面。

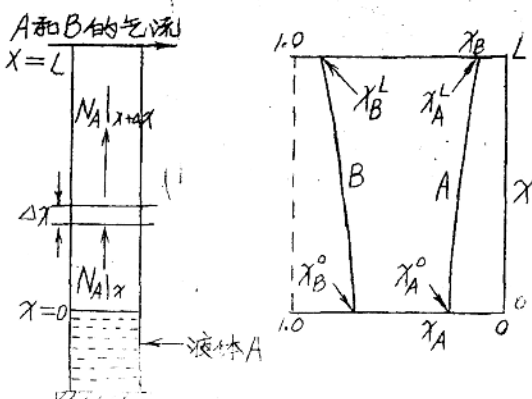


图 19-3 A 在 B 中的滞膜扩散 (注意 B 不流动，但因为 A 在流动，所以 B 的浓度分布与 x 不呈直线关系)

假定在液/气相界面上 ($x=0$)，A 的部分压力等于液面温度下 A 的饱和蒸气压（意味着在相界上保持平衡，即设想分子（或分子）能迅速地离开液相进入气相。一般说来，除非扩散速率非常快，超过了分子穿过液/气界面的传质速率，二者不能並驾齐驱，否则这一假定都可以认为是正确的。）为了简化起见，还假定气体 B 在液体 A 中的溶解度极小，可忽略不计，并且在系统中温度和压力都保持不变。此外，在过程进行中，分子的顶端，有一 A-B 混合气体流过，但速度很慢，所以在 $x=L$ 处，A 的浓度可维持恒定，而且低于液/气界面上 A 的浓度，于是当 $x=0$ 和 $x=L$ 之间，便存在着一个 A 的浓度差，从而导致扩散。当体系达到稳定时，有一个净的 A 的质量流离开蒸发皿，而气体 B 则是不动的。

须要注意的是，在这种情况下，尽管气体 B 是不动的，但是因为从 $x=0$ 到 $x=L$ 的任一平面上，A 的克分子分數 (X_A) 和 B 的克分子分數 (X_B) 之和大于 1，所以对于一个 A 的克分子分數梯度就有一个 B 的克分子分數梯度。随着 A 蒸汽向上扩散，气体 B 也有向下扩散的倾向；但由于容器是封闭的，且设 B 不溶于 A，因此容器内必先会呈现一股向上的对流流动，以抵消 B 的扩散流。这一点在第十七章中介绍斯蒂芬定律时已经谈到了。所以相对于固定坐标 A 的克分子通量 (N_{Ax}) 应该等于由扩散导致的克分子通量 $j_{Ax} = -CD_A \left(\frac{\partial X_A}{\partial x} \right)$ 和主体流动导致的克分子通量 $C_A U_x^*$ 二者之和，即

$$N_{Ax} = -CD_A \frac{\partial X_A}{\partial x} + C_A U_x^* = C_A U_{Ax} \quad (19-24)$$

式中 C = 溶液中局部总的克分子浓度； C_A = 局部 A 的克分子浓度， U_x^* = x 方向上局部的克分子平均速度； U_{Ax} = 相对于固定坐标，沿 x 方向 A 的速度。

这样，据 U_x^* 的定义，可以得出：

$$C U_x^* = C_A U_{Ax} + C_B U_{Bx}$$

$$U_x^* = \frac{1}{C} (C_A U_{Ax} + C_B U_{Bx}) = \frac{1}{C} (N_{Ax} + N_{Bx}) \dots (19-25)$$

19-10

将式(19-25)代入式(19-24), 得:

$$N_{AX} = \chi_A (N_{AX} + N_{BX}) - C D_A \frac{\partial X_A}{\partial x} \quad (19-26)$$

这是二元系中菲克第一定律的另一种形式.

现令 $N_{BX} = 0$, 因此 A 的克分子通量

$$N_{AX} = - \frac{C D_A}{1 - X_A} \frac{dX_A}{dx} \quad (19-27)$$

当过程达到稳定态时, 可列出当膜厚度为 Δx 的单元体积内的质量平衡:

$$S N_{AX}|_x - S N_{AX}|_{x+\Delta x} = 0 \quad (19-28)$$

S 为离子的横截面积.

将式两端同除以 $S \Delta x$, 并且取 $\Delta x \rightarrow 0$ 时的极限, 则得

$$\frac{dN_{AX}}{dx} = 0 \quad (19-29)$$

将(19-27)式代入, 得:

$$\frac{d}{dx} \left(\frac{C D_A}{1 - X_A} \frac{dX_A}{dx} \right) = 0 \quad (19-30)$$

由于常温气体溶液中的扩散系数几乎与浓度无关, 而且在恒温恒压下, 理想混合气体的 C 也是一个常数, 因此方程(19-30)可进一步简化为:

$$\frac{d}{dx} \left(\frac{1}{1 - X_A} \frac{dX_A}{dx} \right) = 0 \quad (19-31)$$

积分上式, 得:

$$-\ln(1 - X_A) = C_1 x + C_2 \quad (19-32)$$

按照下列边界条件:

$$1) \text{ 当 } x=0 \text{ 时, } X_A = X_A^0 \quad (19-33a)$$

$$2) \text{ 当 } x=L \text{ 时, } X_A = X_A^L \quad (19-33b)$$

求出:

$$C_1 = -\frac{1}{L} \ln \left(\frac{1 - X_A^L}{1 - X_A^0} \right), \quad C_2 = -\ln(1 - X_A^0)$$

代入方程(19-32), 于是得浓度分布曲线式如下:

$$\ln\left(\frac{1-X_A}{1-X_A^0}\right) = \frac{X}{L} \ln\left(\frac{1-X_A^L}{1-X_A^0}\right) \quad (19-34)$$

或 $\ln\left(\frac{X_B}{X_B^0}\right) = \frac{X}{L} \ln\left(\frac{X_B^L}{X_B^0}\right) \quad (19-35)$

图 19-3 表明，在气液两相中，尽管通量 N_{AX} 是一致的，但曲线的斜率 $\frac{dX_A}{dX}$ 却随着不连续地变化。

关于液-气界面上的传质速率问题，人们研究的很多。现由方程 (19-34) 得：

$$\ln(1-X_A) = \frac{X}{L} \ln\left(\frac{1-X_A^L}{1-X_A^0}\right) + \ln(1-X_A^0)$$

考虑到 X_A^L, X_A^0 都是一定值，则

$$\frac{dX_A}{dX} = -\frac{(1-X_A)}{L} \ln\left(\frac{1-X_A^L}{1-X_A^0}\right)$$

代入方程 (19-27)，于是可得通过界凸 ($X=0$) 的克分子通量

$$\begin{aligned} N_{AX}|_{X=0} &= -\frac{C_D A}{1-X_A^0} \left(\frac{dX_A}{dX} \right)_{X=0} \\ &= \frac{C_D A}{L} \ln\left(\frac{1-X_A^L}{1-X_A^0}\right) \end{aligned} \quad (19-36)$$

或 $N_{AX}|_{X=0} = \frac{C_D A}{(X_B)_\text{em}} \left(\frac{X_A^0 - X_A^L}{L} \right) \quad (19-37)$

式中 $(X_B)_\text{em} = \frac{X_B^L - X_B^0}{\ln(X_B^L/X_B^0)}$ (19-38)

当 A 的浓度很稀时，方程 (19-37) 可简化为

$$N_{AX}|_{X=0} = D_A \left(\frac{C_A^0 - C_A^L}{L} \right) \quad (19-39)$$

如果开始时不考虑流体的表层流动，即直接得此这一公式，並且可以简单地表示为

$$j_{AX} = -D_A \frac{dc_A}{dx} \quad (19-40)$$

这就是菲克第一定律。

方程(19-36)(19-37)常用于蒸发表升华过程。这时要运用到蒸气(A)通过另一种不动的气体(B)扩散的问题。此外，在传质的“薄膜理论”中，也还要用到上述方程。

例19-1 置于实验炉内的纯Mn液体保持在1600°C，而且通以纯Ar气保护。锰的液面至坩埚口下2.0cm，坩埚的重量连续地予以测得。当重量损失率不再随时间变化而达到稳定时，等于 2.65×10^{-7} 克分子/厘米²·秒，求这时Mn蒸气在Ar中的扩散系数 D_{Mn-Ar} 。

解：在1600°C下，纯Mn的饱和蒸气压 $P_{Mn}^0 = 0.03$ 大气压，取这个值为液/气界面上气相中Mn的部分压力。坩埚口锰的蒸气压取为零，因为Ar气流经坩埚的开口端流过时，会立即把气带走。

显然锰蒸气在气相中的浓度是极稀的。因此可用方程(19-39)计算 D_{Mn-Ar} ，由 $P_{Mn}^0 = C_{Mn}^0 RT$ ，或 $C_{Mn}^0 = \frac{P_{Mn}^0}{RT}$ ；同时已知 $P_{Mn}^0 = 0.03$ 大气压， $R = 0.08205$ 升·气压/克分子·度，1升=10³厘米³， $T = 1873^{\circ}\text{K}$ ，故得：

$$C_{Mn}^0 = \frac{P_{Mn}^0}{RT} = \frac{0.03 \text{ 大气压}}{0.08205 \text{ 升} \cdot \text{气压}} \left| \frac{\text{升}}{10^3 \text{ 厘米}^3} \right| \left| \frac{1873^{\circ}\text{K}}{} \right| \\ = 1.95 \times 10^{-7} \text{ 克分子/厘米}^3$$

代入方程(19-39)，考虑到 $C_{Mn}^L = 0$ ， $L = 2.0$ 厘米， $N_{Mn,x}|_{x=0} = 2.65 \times 10^{-7}$ 克分子/厘米²·秒，故：

$$D_{Mn-Ar} = \frac{2.65 \times 10^{-7} \times 2.0}{1.95 \times 10^{-7}} = 2.7 \text{ 厘米}^2/\text{秒}.$$

§19-4 运动气流中的扩散

图(19-4)表示测得金属(液体或固体)蒸气压的一种装置。用Ar气作为金属蒸气的载体。试样的温度保持在相当于待测蒸气压的温度，含有饱和金属蒸气的Ar气，在 $x=0$ 处进入排气管，而在排气管的冷端，金属蒸气凝结下来，收集后随之进行称量。

在排气管上取长为 Δz 一段，作质量平衡。当过程达到稳定态

时，取 $Az \rightarrow 0$ 时的极限，
应得（如同方程 19-29）

$$\frac{dN_{Az}}{dz} = 0 \quad \dots \dots \quad (19-41)$$

可以选 (19-24) 式 (19-26) 式来表示 $N_{A,z}$ ，这里我们选用 (19-24) 式，
于是：

$$U_z^* \frac{dC_A}{dz} - \frac{d}{dz} (C_D A \frac{dX_A}{dz}) = 0 \quad (19-42)$$

设氩气—金属蒸气混合气体是理想气体，而且假定从 $z=0$ 到 $z=L$ 温度的变化很小， C 和 D_A 都是常数，则上式变成：

$$\frac{d^2 X_A}{dz^2} - \frac{U_z^*}{D_A} \frac{dX_A}{dz} = 0 \quad (19-43)$$

边界条件是：

$$1) \text{ 当 } z=0 \text{ 时, } X_A = X_A^0 \text{ (饱和值)} \quad (19-44a)$$

$$2) \text{ 当 } z=L \text{ 时, } X_A = 0 \quad (19-44b)$$

边界条件 2 的含义是在 $z=L$ 处，气相的温度降低，以致 A 的蒸气压可以忽略不计。

把方程 (19-43) 看作是常系数齐次线性微分方程，它的通解为：

$$X_A = C_1 e^{r_1 z} + C_2 e^{r_2 z} \quad (19-45)$$

r_1, r_2 是下式的两个根：

$$r^2 - \frac{U_z^*}{D_A} r = 0 \quad (19-46)$$

虽然， $r_1 = 0$ ， $r_2 = \frac{U_z^*}{D_A}$ ，代入方程 (19-45)，于是得：

$$X_A = C_1 + C_2 \exp\left(\frac{U_z^*}{D_A} z\right) \quad (19-47)$$

据边界条件 (19-44a) (19-44b)，求出式中的两个待定常数 C_1

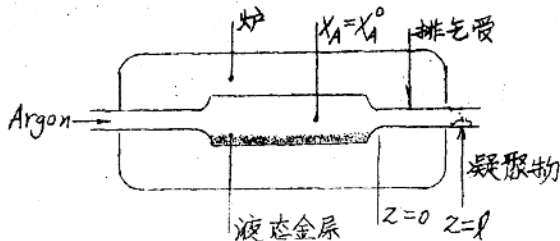


图 19-4 流动气流中的扩散

19-14

和 C_2 :

$$C_1 = X_A^\circ \left[1 + \frac{1}{\exp(U_z^* L/D_A) - 1} \right] \quad (19-48)$$

$$C_2 = - \frac{X_A^\circ}{[\exp(U_z^* L/D_A) - 1]} \quad (19-49)$$

代入方程 (19-47), 结果得云浓度分布式如下:

$$\frac{X_A}{X_A^\circ} = \frac{\exp(U_z^* L/D_A) - \exp(U_z^* z/D_A)}{\exp(U_z^* L/D_A) - 1} \quad (19-50)$$

据方程 (19-24) 可知, 在排气管入口处 ($z=0$), 金属蒸气的通量是:

$$N_{Az}|_{z=0} = C \left[-D_A \left(\frac{\partial X_A}{\partial z} \right)_{z=0} + X_A^\circ U_z^* \right] \quad (19-51)$$

根据方程 (19-50):

$$X_A = X_A^\circ \left[\frac{\exp(U_z^* L/D_A) - \exp(U_z^* z/D_A)}{\exp(U_z^* L/D_A) - 1} \right]$$

$$\text{故 } \left(\frac{\partial X_A}{\partial z} \right)_{z=0} = - \frac{U_z^*}{D_A} \frac{X_A^\circ}{\exp(U_z^* L/D_A) - 1}$$

代入方程 (19-51), 则得表示 $N_{Az}|_{z=0}$ 的另一个公式:

$$\begin{aligned} N_{Az}|_{z=0} &= C U_z^* X_A^\circ \left[1 + \frac{1}{\exp(U_z^* L/D_A) - 1} \right] \\ &= C U_z^* X_A^\circ \left[1 - \frac{1}{1 - \exp(U_z^* L/D_A)} \right] \end{aligned} \quad (19-52)$$

设排气管横截面积为 S , 则 $SN_{Az}|_{z=0}$ 表示单位时间内通过排气管的 A 原子数, 实验中这个数的大小可根据测定时间内在 $z=L$ 处凝聚物的多少确定。乘以 SCU_z^* 得于单位时间内流过排气管的 Ar 原子分子数和单位时间内收集所得的凝聚物克分子数二者之和。现令 P_A° 表示 A 的蒸气压, P 表示总压, 显然:

$$P_A^\circ = P X_A^\circ \quad (19-53)$$

$$X_A^\circ = \frac{P_A^\circ}{P} \quad (19-54)$$

由(19-52)式:

$$X_A^o = \frac{N_{Az}|_{z=0}}{CV_z^*} \left[\frac{\exp(V_z^* L/D_A) - 1}{\exp(V_z^* L/D_A)} \right]$$

分子和分母同乘以 S , 于是得击 A 的蒸气压和者实验值之间的关系式如下:

$$\frac{P_A^o}{P} = \frac{SN_{Az}|_{z=0}}{SCV_z^*} \left[\frac{\exp(V_z^* L/D_A) - 1}{\exp(V_z^* L/D_A)} \right] \quad (19-55)$$

扩散系数 D_A 是一个不定值, 因此设计实验最好能依扩散系数的影响可以忽略不计。公式(19-55)中的 $V_z^* L/D_A$ 是一个无因次数群, 当 $V_z^* L/D_A \geq 5$ 时, 公式右端括号内的数值将 ≥ 0.993 , 且且 < 1 , 这时扩散系数的影响即可忽略不计。也就是说, 要保证 $V_z^* L/D_A$ 具有足够的数值。为此排气管从 $z=0$ 到 $z=L$ 这一段的直径必须很小, 同时选用 Ar 气或 N_2 气作为载气, 而不用 H_2 或 He , 因为扩散系数在较重的气体中比在较轻的气体中小一些。

例19-2 为了研究 $Mn-Cu$ 合金力学, 现设计一实验装置, 用以测得 $1400^{\circ}K$ 下 $Mn-Cu$ 熔融合金中 Mn 的蒸气压, 用 Ar 气作为载气, 要求确定排气管的尺寸和 Ar 气流速。

解: 选用下式作为实验设计的依据:

$$P_{Mn}^o = P \frac{N_{Mn}}{N}$$

式中 P_{Mn}^o 为气/液界面上 Mn 的平衡压力; N_{Mn} 为凝胶击来的 Mn 的克分子数; $N = N_{Mn} + N_{Ar}$, 即在某一定时间内通过排气管的气体的总克分子数, 当 $V^* L/D_{Mn-Ar} \geq 5.0$ 时, 此式基本上可以成立。

计算得击, $1400^{\circ}K$ 时 D_{Mn-Ar} 为 $2.6 \text{ 厘米}^2/\text{秒}$, 因此 $V^* L$ 必须大于 $13.0 \text{ 厘米}^2/\text{秒}$ 。由于 $V^* \equiv 4\pi RT/\pi d^2 P$, $\pi \equiv \pi_{Ar}$ (Ar 克分子数/秒), 故要求:

$$\frac{4\pi n_{Ar} RT L}{\pi P} \geq 13.0 \text{ 厘}^2$$

若尔斐罗之间的关系可用下图表示, 图线左侧则是推荐的尺寸范围。